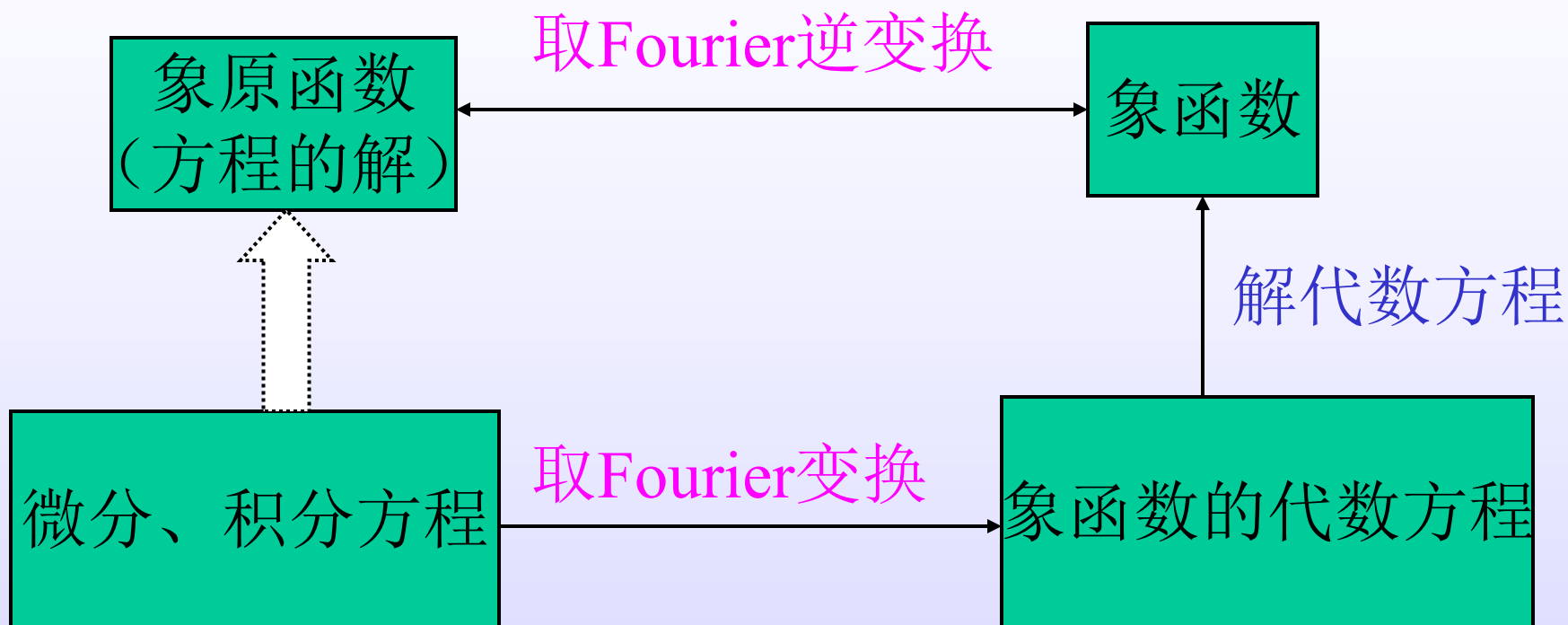


第四节 Fourier变换的应用

- 一、微分方程、积分方程的Fourier变换解法
- 二、在电路方面的应用
- 三、在通信方面的应用
- 四、信号处理及图像处理中的应用
- 五、快速傅立叶变换
- 六、小结与思考

一、微分、积分方程的 Fourier变换解法



例1 若 $F[f(t)] = F(\omega)$, 证明

$$F\left[\int_{-\infty}^t f(t)dt\right] = \frac{F(\omega)}{i\omega} + \pi F(0)\delta(\omega).$$

证 由前面介绍的积分性质 知, 当 $g(t) = \int_{-\infty}^t f(t)dt$ 满足 *Fourier* 积分定理的条件时, 有

$$F\left[\int_{-\infty}^t f(t)dt\right] = \frac{F(\omega)}{i\omega}.$$

当 $g(t)$ 为一般情况时, 可以将 $g(t)$ 表示为 $f(t)$ 与 $u(t)$ 的卷积, 即

$$g(t) = f(t) * u(t).$$

这是因为

$$f(t) * u(t) = \int_{-\infty}^{+\infty} f(\tau) u(t - \tau) d\tau = \int_{-\infty}^t f(\tau) d\tau.$$

利用卷积定理

$$\begin{aligned} F[g(t)] &= F[f(t) * u(t)] = F[f(t)] \cdot F[u(t)] \\ &= F(\omega) \cdot \left[\frac{1}{i\omega} + \pi\delta(\omega) \right] \\ &= \frac{F(\omega)}{i\omega} + \pi F(0)\delta(\omega). \end{aligned}$$



机动



目录



上页



下页



返回



结束

说明 : 当 $\lim_{t \rightarrow +\infty} g(t) = 0$ 的条件不满足时 , 它的 *Fourier* 变换就包括一个脉冲函数 , 即

$$\mathcal{F} \left[\int_{-\infty}^t f(t) dt \right] = \frac{F(\omega)}{i\omega} + \pi F(0) \delta(\omega).$$

特别 , 当 $\lim_{t \rightarrow +\infty} g(t) = 0$ 时 , 即

$$\int_{-\infty}^{+\infty} f(t) dt = 0$$

时 , 由于 $f(t)$ 是绝对可积的 , 所以

$$\begin{aligned}
 F(0) &= \lim_{\omega \rightarrow 0} F(\omega) = \lim_{\omega \rightarrow 0} \int_{-\infty}^{+\infty} f(t) e^{-i\omega t} dt \\
 &= \int_{-\infty}^{+\infty} \lim_{\omega \rightarrow 0} [f(t) e^{-i\omega t}] dt \\
 &= \int_{-\infty}^{+\infty} f(t) dt = 0.
 \end{aligned}$$

由此可见, 当 $\lim_{t \rightarrow +\infty} g(t) = 0$ 时, 就有 $F(0) = 0$, 从而与前面的古典意义下的 积分性质相一致 .

例2 求积分方程 $f(t) = \int_0^{+\infty} g(\omega) \sin \omega t d\omega$ 的解 $g(\omega)$,
其中

$$f(t) = \begin{cases} \frac{\pi}{2} \sin t, & 0 < t \leq \pi \\ 0, & t > \pi \end{cases}.$$

解 因为积分方程可以改写为

$$\frac{2}{\pi} \int_0^{+\infty} g(\omega) \sin \omega t d\omega = f(t),$$

由正弦逆变换公式

$$f(t) = \frac{2}{\pi} \int_0^{+\infty} F_s(\omega) \sin \omega t d\omega$$

知 $\frac{2}{\pi} f(t)$ 为 $g(\omega)$ 的 *Fourier* 正弦逆变换, 所以

$$\begin{aligned} g(\omega) &= \int_0^{+\infty} \frac{2}{\pi} f(t) \sin \omega t dt \\ &= \int_0^{\pi} \sin t \sin \omega t dt \\ &= \frac{1}{2} \int_0^{\pi} [\cos(1-\omega)t - \cos(1+\omega)t] dt \\ &= \frac{\sin \omega \pi}{1-\omega^2}. \end{aligned}$$

例3 求解积分方程

$$g(t) = h(t) + \int_{-\infty}^{+\infty} f(\tau) g(t - \tau) d\tau,$$

其中 $h(t)$, $f(t)$ 为已知函数, 且 $g(t)$, $h(t)$ 和 $f(t)$ 的 *Fourier* 变换都存在.

解设 $F[g(t)] = G(\omega)$, $F[h(t)] = H(\omega)$ 和 $F[f(t)] = F(\omega)$

由卷积定义, 积分方程右端第二项

$$\int_{-\infty}^{+\infty} f(\tau) g(t - \tau) d\tau = f(t) * g(t).$$

因此,对上述积分方程两端取Fourier变换,由卷积定理有

所以
$$G(\omega) = H(\omega) + F(\omega) \cdot G(\omega),$$

$$G(\omega) = \frac{H(\omega)}{1 - F(\omega)}.$$

由Fourier逆变换,可得积分方程的解

$$\begin{aligned} g(t) &= \frac{1}{2\pi} \int_{-\infty}^{+\infty} G(\omega) e^{i\omega t} d\omega \\ &= \frac{1}{2\pi} \int_{-\infty}^{+\infty} \frac{H(\omega)}{1 - F(\omega)} e^{i\omega t} d\omega. \end{aligned}$$

例4 求常系数非齐次线性微分方程

$$\frac{d^2}{dt^2} y(t) - y(t) = -f(t)$$

的解, 其中 $f(t)$ 为已知函数.

设 $F[y(t)] = Y(\omega)$, $F[f(t)] = F(\omega)$.

解 利用Fourier变换的线性性质和微分性质, 对上述微分方程两端取Fourier变换得

$$(i\omega)^2 Y(\omega) - Y(\omega) = -F(\omega),$$

$$\text{所以 } Y(\omega) = \frac{1}{1 + \omega^2} F(\omega).$$

从而

$$\begin{aligned} y(t) &= \frac{1}{2\pi} \int_{-\infty}^{+\infty} Y(\omega) e^{i\omega t} d\omega \\ &= \frac{1}{2\pi} \int_{-\infty}^{+\infty} \frac{1}{1+\omega^2} F(\omega) e^{i\omega t} d\omega. \end{aligned}$$

又 $\frac{1}{2}e^{-|t|}$ 与 $\frac{1}{1+\omega^2}$ 构成一个 *Fourier* 变换对, 因此,
由卷积定理可得

$$y(t) = \left(\frac{1}{2} e^{-|t|} \right) * f(t) = \frac{1}{2} \int_{-\infty}^{+\infty} f(\tau) e^{-|t-\tau|} d\tau.$$

例5 求解微分积分方程

$$ax'(t) + bx(t) + c \int_{-\infty}^t x(t) dt = h(t)$$

的解，其中 $-\infty < t < +\infty$, a, b, c 均为常数。

解 利用Fourier变换的线性性质、微分性质和积分性质，

且设 $F[x(t)] = X(\omega)$, $F[h(t)] = H(\omega)$ 。

对上述微分方程两端取Fourier变换得

$$ai\omega X(\omega) + bX(\omega) + \frac{c}{i\omega} X(\omega) = H(\omega),$$

$$X(\omega) = \frac{H(\omega)}{b + i(a\omega - \frac{c}{\omega})}.$$

而上式的Fourier逆变换为

$$\begin{aligned} x(t) &= \frac{1}{2\pi} \int_{-\infty}^{+\infty} X(\omega) e^{i\omega t} d\omega \\ &= \frac{1}{2\pi} \int_{-\infty}^{+\infty} \frac{H(\omega)}{b + i(a\omega - \frac{c}{\omega})} e^{i\omega t} d\omega. \end{aligned}$$

二、傅立叶变换在电路方面的应用

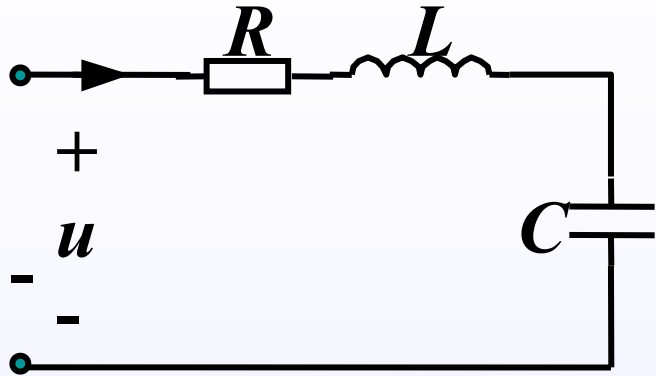


图1

对于如图3.1所示的 RLC 串联电路，由

$$u = Ri_*, i_* = C \frac{du}{dt}, u = L \frac{di_*}{dt}, \quad (3.1)$$

这里用 i_* 表示电流，用 U 、 I 分别表示电压 u 、电流 i_* 的傅立叶变换，则由傅立叶变换的微分性质，有

$$U = RI, I = iC\omega U, U = iL\omega I \quad (3.2)$$

可得到复阻抗

$$Z = \frac{U}{I} = \begin{cases} Z_R = R, & \text{对电阻 } R, \\ Z_C = 1/iC\omega, & \text{对电容 } C, \\ Z_L = iL\omega, & \text{对电感 } L, \end{cases} \quad (3.3)$$

对于串联电路, 因为

$$U = U_1 + U_2 = Z_1 I + Z_2 I = (Z_1 + Z_2) I = Z I, \quad (3.4)$$

则 $Z = Z_1 + Z_2$ 是此电路的等效复阻抗。

对于并联电路, 因为

$$I = I_1 + I_2 = \frac{U_1}{Z_1} + \frac{U_2}{Z_2} = \left(\frac{1}{Z_1} + \frac{1}{Z_2} \right) U = \frac{Z_1 + Z_2}{Z_1 Z_2} U = \frac{U}{Z} \quad (3.5)$$

而 $Z = \frac{Z_1 Z_2}{Z_1 + Z_2}$ 是此电路的等效复阻抗。

以上复阻抗与使用复数欧姆定律求得的是相同的。

对于图3.1所示的 RLC 串联电路，其总复阻抗为

$$Z = Z_R + Z_L + Z_C = R + iL\omega + \frac{1}{iC\omega} = R + i(L\omega - \frac{1}{C\omega})$$

以 U_{λ} 、 $U_{\text{出}}$ 分别表示输入电压 $u_{\lambda}(t)$ 、输出电压 $u_{\text{出}}(t)$ 的傅立叶变换，则

$$U_{\lambda} = ZI = [R + i(L\omega - \frac{1}{C\omega})]I, \quad U_{\text{出}} = Z_C I = \frac{1}{iC\omega} I$$

因而得 RLC 串联电路的频率特性

$$\begin{aligned}\frac{U_{\text{出}}}{U_{\text{入}}} &= \frac{Z_C I}{Z I} = \frac{Z_C}{Z} = \frac{1}{1 - LC\omega^2 + iRC\omega} \\ &= \frac{1}{\sqrt{(1 - LC\omega^2)^2 + (RC\omega)^2}} e^{-i\varphi},\end{aligned}\quad (3.7)$$

其中

$$\varphi = \arctg \frac{RC\omega}{1 - LC\omega^2} + \begin{cases} 0, & \text{当 } 1 - LC\omega^2 \geq 0, \\ \pi, & \text{当 } 1 - LC\omega^2 < 0, \end{cases}$$

此外，从上述 RLC 串联电路的频率特性还可列出描述电路的微分方程，因为由（3.7），可得

$$(1 - LC\omega^2 + iRC\omega)U_{\text{出}} = U_{\text{入}}$$

即

$$-LC\omega^2 U_{\text{出}} + iRC\omega U_{\text{出}} + U_{\text{出}} = U_{\text{入}}$$

所以输出复电压 $U_{\text{出}}$ 满足复形式的微分方程

$$LCU_{\text{出}}'' + RCU_{\text{出}}' + U_{\text{出}} = U_{\text{入}}$$

将上式两边取实部，使得输出电压 $u_{\text{出}}$ 所满足的微分方程

$$LCu_{\text{出}}'' + RCu_{\text{出}}' + u_{\text{出}} = u_{\text{入}} = u_0 \cos \omega t$$



机动



目录



上页



下页



返回



结束

三、傅立叶变换在通讯方面的应用

下面介绍傅立叶变换在无线电通讯中的某些应用。近代通讯中，一种传递信号的重要方式是借助于高频电磁波在空间中进行传播，如短波无线电电话就是这样，其中还要用到连续信号或脉冲的调制和调解，而在数学理论上则要使用傅立叶分析的方法。脉冲调制是用需要传输的消息信号去调制一串矩形脉冲的某些参量（如幅值、相位等）随消息信号的强弱而变化，以下，我们只讨论脉冲调幅。

今考虑幅度为1,宽度为 τ , 周期为T的矩形脉冲, 作为取样脉冲, 即

$$u(t + nT) = u(t) = \begin{cases} 1, |t| < \frac{\tau}{2}, \\ 0, \frac{\tau}{2} < |t| < \frac{T}{2}, \end{cases} \quad n = 0, \pm 1, \pm 2, \dots$$

则可求得其傅立叶级数为

$$u(t) = \frac{\tau}{T} \sum_{n=-\infty}^{\infty} \frac{\sin \frac{n\Omega\tau}{2}}{\frac{n\Omega\tau}{2}} e^{in\Omega t} \quad (3.30),$$

其中 $\Omega = \frac{2\pi}{T} = \frac{2\pi}{1/2B} = 4\pi B$ 为重复圆频率。

以 $f(t)$ 表示调制信号，调制过程实际上就是 $f(t)$ 与 $u(t)$ 相乘的过程，即

$$f(t)u(t) = \begin{cases} 0, & \text{当 } u(t) = 0, \\ f(t), & \text{当 } u(t) = 1, \end{cases}$$

设 $f(t)$ 的频谱函数

$$F(\omega) = \int_{-\infty}^{\infty} f(t)e^{-i\omega t} dt \begin{cases} \neq 0, & \text{当 } |\omega| < \omega_1 = 2\pi f_1, \\ = 0, & \text{当 } |\omega| > \omega_1, \end{cases}$$

这里 $\omega_1 (= 2\pi f_1)$, $-\omega_1$ 是上边频与下边频。

由 (3.30)，有

$$f(t)u(t) = \frac{\tau}{T} \sum_{n=-\infty}^{\infty} \frac{\sin \frac{n\Omega\tau}{2}}{n\Omega\tau} f(t) e^{in\Omega t}$$

其频谱函数为

$$\begin{aligned} \int_{-\infty}^{\infty} f(t)u(t)e^{-i\omega t} dt &= \frac{\tau}{T} \sum_{n=-\infty}^{\infty} \frac{\sin \frac{n\Omega\tau}{2}}{n\Omega\tau} \int_{-\infty}^{\infty} f(t)e^{i(n\Omega-\omega)t} dt \\ &= \frac{\tau}{T} \sum_{n=-\infty}^{\infty} \frac{\sin \frac{n\Omega\tau}{2}}{n\Omega\tau} F(\omega - n\Omega), \end{aligned}$$

当 $n=0$ 时, 其频谱函数为 $\frac{\tau}{T}F(\omega)$, 与 $f(t)$ 的频谱函数

只差一个常数 $\frac{\tau}{T}$ 倍, 当 $n=1$ 时, 其频谱函数为

$\frac{\tau}{T} \frac{\sin \frac{\Omega \tau}{2}}{\frac{\Omega \tau}{2}} F(\omega - \Omega)$, 相当于将 $f(t)$ 的频谱函数乘以

常数因子 $\frac{\tau}{T} \frac{\sin \frac{\Omega \tau}{2}}{\frac{\Omega \tau}{2}}$, 并在频率轴上向右移动 Ω .

对 n 的其余情形可类似讨论。只要 $\Omega > 2\omega_1$,

则各块频谱图不会重迭。

如果将已调幅的脉冲通过频率函数近似于

$$\text{当 } |\omega| > \omega_1, \quad H(\omega) = 0,$$

$$\text{当 } |\omega| \leq \omega_1 = 2\pi f_1, \quad H(\omega) = 1,$$

的低通滤波器，由于 $\omega_1, -\omega_1$ 恰为调制信号 $f(t)$ 的上边频与下边频，所以只要 $\Omega > 2\omega_1 = 4\pi f_1$ ，则已调幅的脉冲通过此滤波器后再放大 $\frac{T}{\tau}$ 倍，就还原为调制信号。

四、离散傅立叶变换在信号处理及图像处理中的应用

时间函数 \longleftrightarrow 频率函数

连续时间、连续频率—傅里叶变换

连续时间、离散频率—傅里叶级数

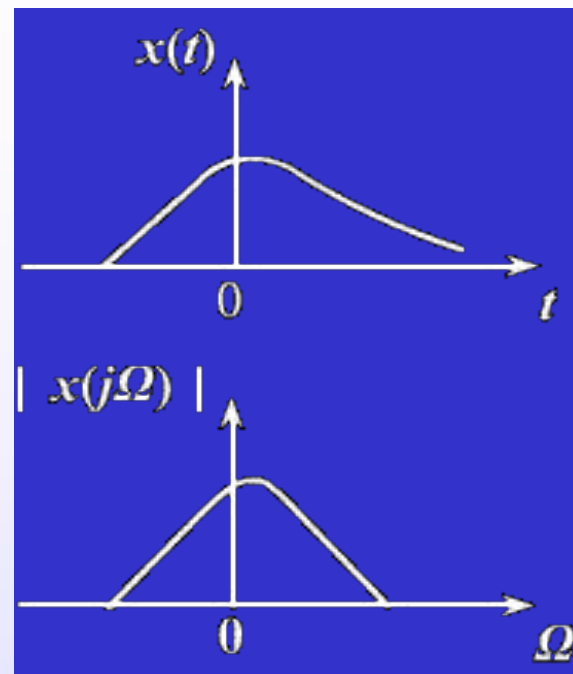
离散时间、连续频率—序列的傅里叶变换

离散时间、离散频率—离散傅里叶变换

连续时间、连续频率—傅里叶变换

$$X(j\Omega) = \int_{-\infty}^{\infty} x(t)e^{-j\Omega t} dt$$

$$x(t) = \frac{1}{2\pi} \int_{-\infty}^{\infty} X(j\Omega)e^{j\Omega t} d\Omega$$

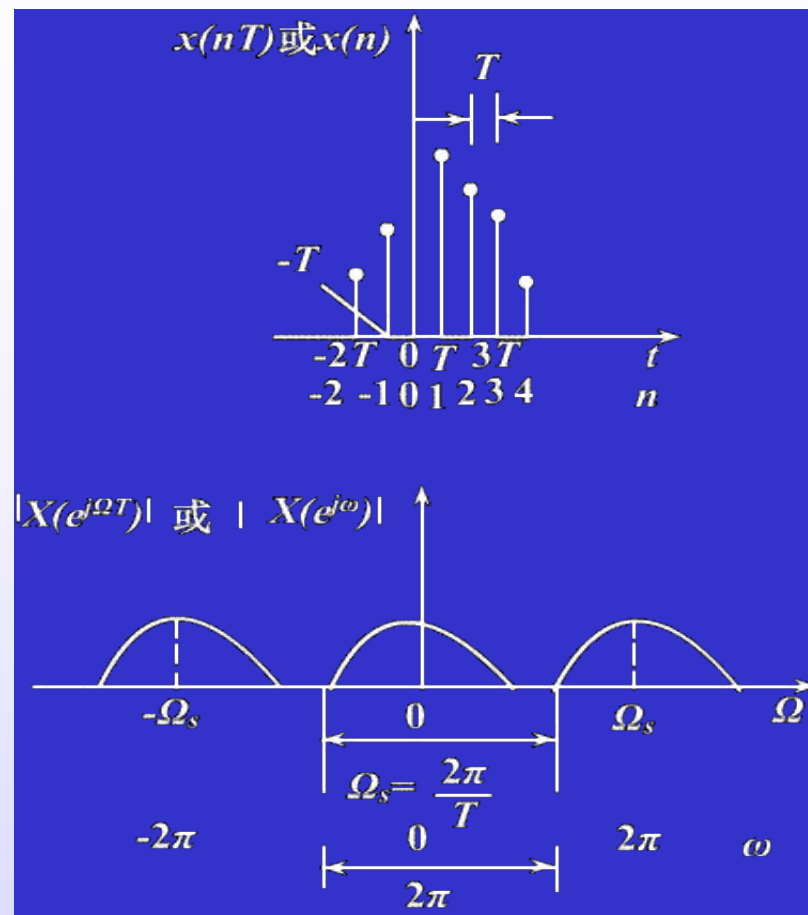


时域连续函数造成频域是非周期的谱，
而时域的非周期造成频域是连续的谱密度函数。

离散时间、连续频率—序列的傅里叶变换

$$X(e^{j\omega}) = \sum_{n=-\infty}^{\infty} x(n)e^{-j\omega n}$$

$$x(n) = \frac{1}{2\pi} \int_{-\pi}^{\pi} X(e^{j\omega}) e^{j\omega n} d\omega$$

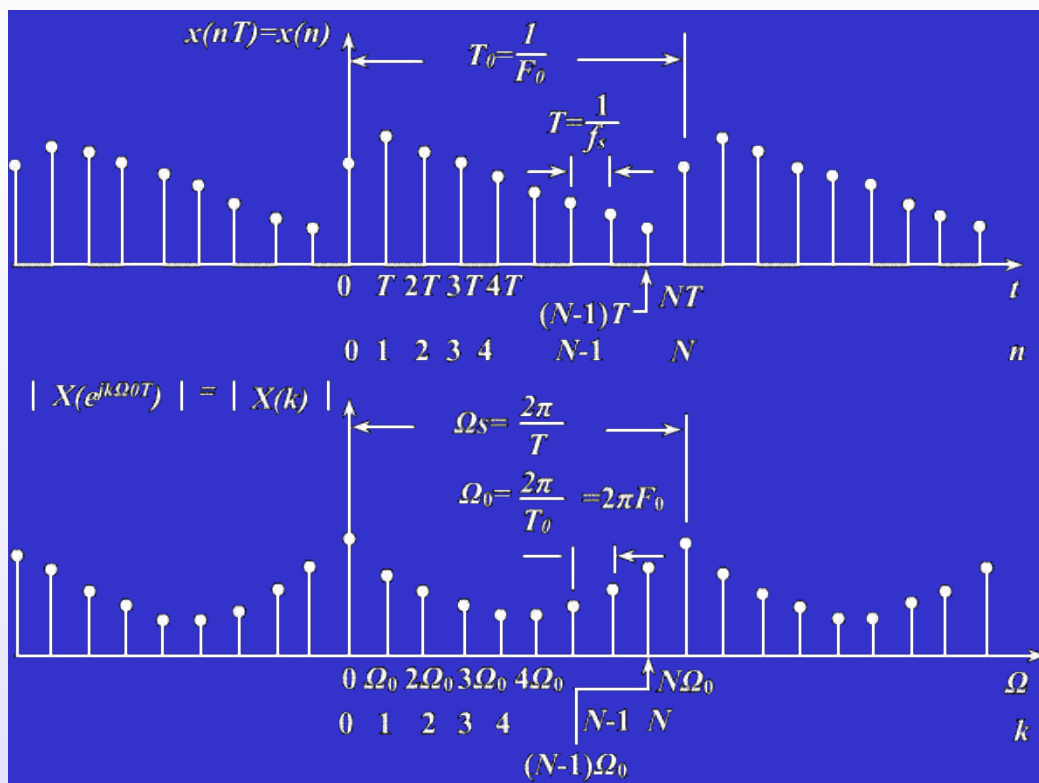


时域的离散化造成频域的周期延拓，而时域的非周期对应于频域的连续

离散时间、离散频率—离散傅里叶变换

$$X(k) = \sum_{n=0}^{N-1} x(n) e^{-j\frac{2\pi}{N}nk}$$

$$x(n) = \frac{1}{N} \sum_{k=0}^{N-1} X(k) e^{j\frac{2\pi}{N}nk}$$



一个域的离散造成另一个域的周期延拓，因此离散傅里叶变换的时域和频域都是离散的和周期的

四种傅里叶变换形式的归纳

	时间函数	频率函数
傅里叶变换	连续和非周期	非周期和连续
傅里叶级数	连续和周期(T_0)	非周期和离散($\Omega_0=2\pi/T_0$)
序列的傅里叶变换	离散(T)和非周期	周期($\Omega_s=2\pi/T$)和连续
离散傅里叶变换	离散(T)和周期(T_0)	周期($\Omega_s=2\pi/T$)和离散($\Omega_0=2\pi/T_0$)

(DFS: 离散傅里叶级数, DTFT: 序列的傅里叶变换,
DFT: 离散傅里叶变换)

在人们刚开始利用无线电技术传输信号时，是将连续信号进行某种调制处理后直接传送的，本质上传送的还是连续信号（也叫模拟信号）。这样的传输方式抗干扰能力差，失真严重，尤其经过长距离传送或多级传递后，信号可能面目全非，质量自然难尽人。

以后发展了离散的传输方法，它不是传送连续信号本身，而是每隔一段时间 Δt ，从信号中提取一个数值脉冲（称为数值抽样），将连续信号转化成数据序列 $x(0), x(1), \dots, x(N-1)$ ，再经过编码后发送。

只要抽取的时间间隔足够小，这列数据就能很好地反映原信号，接收方通过逆向处理，可以复原出所传递的信号。这种方法称为数字信号传输，具有抗干扰能力强、信号还原质量高、易于加密和解密等优点，问世后便受到广泛的重视，至今方兴未艾。

为了保证接收的质量， Δt 必须取的很小，即 N 非常之大。因此，直接发送这列数据将会长时间地占用传输设备和线路，这不但需要支付昂贵的费用，在紧急时甚至会误事。所以，在抽样之后需要对数据序列 $x(0), x(1), \dots, x(N-1)$ ，进行简化和压缩，但由于序列中数据大小是散乱的，因此一方面我们不能随意舍弃某些数据，另一方面压缩的效果也比较差。

后来经过研究发现，若对数据序列

$$x(0), x(1), \dots, x(N-1),$$

施以如下的离散傅立叶变换

$$X(k) = \sum_{n=0}^{N-1} x(n) e^{-2\pi j \frac{nk}{N}} \quad (k = 0, 1, 2, \dots, N-1, j = \sqrt{-1})$$

就可以有效地解决上面的问题。

利用正交关系式

$$\frac{1}{N} \sum_{n=0}^{N-1} e^{-2\pi i \frac{nj}{N}} e^{2\pi i \frac{nk}{N}} = \delta_{j, k} = \begin{cases} 1, & j = k \\ 0, & j \neq k \end{cases}$$

可以导出离散傅立叶逆变换

$$x(k) = \frac{1}{N} \sum_{j=0}^{N-1} X(j) e^{2\pi i \frac{jk}{N}} \quad (k = 0, 1, 2, \dots, N-1)$$

这是因为

$$\begin{aligned} \frac{1}{N} \sum_{j=0}^{N-1} X(j) e^{2\pi i \frac{jk}{N}} &= \frac{1}{N} \sum_{j=0}^{N-1} \sum_{n=0}^{N-1} x(n) e^{-2\pi i \frac{nj}{N}} e^{2\pi i \frac{jk}{N}} \\ &= \sum_{n=0}^{N-1} x(n) \left[\frac{1}{N} \sum_{j=0}^{N-1} e^{-2\pi i \frac{nj}{N}} e^{2\pi i \frac{jk}{N}} \right] \\ &= \sum_{n=0}^{N-1} x(n) \delta_{n, k} = x(k). \end{aligned}$$

也就是说，若发送方将 $x(0), x(1), \dots, x(N-1)$ 做了离散傅立叶变换后传输出去，接受方可以对接收到的数据进行离散傅立叶逆变换，再现原始信号。

离散傅立叶变换优点：

1. 传输过程的抗干扰能力进一步提高。

从变换公式容易看出，变换后的序列中的每个 $X(j)$ 都包含了原序列中所有信号的信息。因此，即使丢失了某些 $X(j)$ ，仍可望由其余数据基本正确地还原出原始数据。

2. 使需传输的序列大为缩短。

剔除某些其模较小的数据（通常这类数据数量很大）

3. 易于作高效的压缩处理。

$X(0), X(1), \dots, X(N-1)$ 的排列将很有规律，模较大的数据往往集中在序列中一两个较窄的范围内。



机动



目录



上页



下页



返回



结束

长度为 N 的有限长序列 $x(n)$

周期为 N 的周期序列 $\tilde{x}(n)$

$$x(n) = \tilde{x}(n)R_N(n) \quad \tilde{x}(n) \text{的主值序列}$$

$$\tilde{x}(n) = \sum_{r=-\infty}^{\infty} x(n + rN) = x((n))_N \quad x(n) \text{的周期延拓}$$

同样： $X(k)$ 也是一个 N 点的有限长序列

$$\tilde{X}(k) = X((k))_N$$

$$X(k) = \tilde{X}(k)R_N(k)$$

有限长序列的DFT正变换和反变换：

$$X(k) = DFT[x(n)] = \sum_{n=0}^{N-1} x(n) W_N^{nk} \quad 0 \leq k \leq N-1$$

$$x(n) = IDFT[X(k)] = \frac{1}{N} \sum_{k=0}^{N-1} X(k) W_N^{-nk} \quad 0 \leq n \leq N-1$$

或
$$X(k) = \sum_{n=0}^{N-1} x(n) W_N^{nk} R_N(k) = \tilde{X}(k) R_N(k)$$

$$x(n) = \frac{1}{N} \sum_{k=0}^{N-1} X(k) W_N^{-nk} R_N(n) = \tilde{x}(n) R_N(n)$$

其中：
$$W_N = e^{-j\frac{2\pi}{N}}$$



机动



目录



上页



下页



返回



结束

例 求有限长序列 $x(n) = \begin{cases} a^n, & 0 \leq n \leq N-1 \\ 0, & \text{其他} \end{cases}$ 的DFT.

其中 $a = 0.8, N = 8$

解

$$X(k) = DFT(x(n)) = \sum_{n=0}^{N-1} a^n W_N^{kn} = \sum_{n=0}^7 (ae^{-j\frac{2\pi}{N}k})^n = \frac{1-a^8}{1-ae^{-j\frac{\pi}{4}k}}$$

$$x(0) = 4.16114$$

$$0 \leq k \leq 7.$$

$$x(1) = 0.71063 - j0.92558$$

$$x(2) = 0.50746 - j0.40597$$

$$x(3) = 0.47017 - j0.16987$$

$$x(4) = 0.46235$$

$$x(5) = 0.47017 + j0.16987$$

$$x(6) = 0.50746 + j0.40597$$

$$x(7) = 0.71063 + j0.92558$$



机动



目录



上页



下页



返回

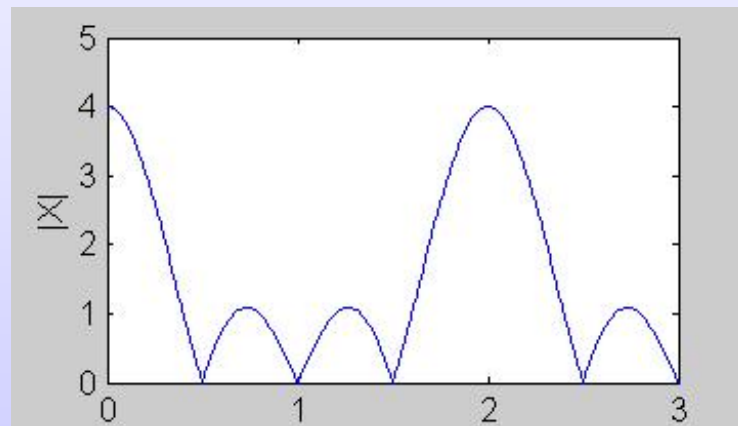


结束

例：已知序列 $x(n) = R_4(n)$,求 $x(n)$ 的8点和16点DFT。

解：求 $x(n)$ 的DTFT

$$\begin{aligned} X(e^{j\omega}) &= \sum_{n=-\infty}^{\infty} x(n)e^{-j\omega n} = \sum_{n=0}^3 e^{-j\omega n} = \frac{1 - e^{-j4\omega}}{1 - e^{-j\omega}} \\ &= \frac{e^{-j2\omega} (e^{j2\omega} - e^{-j2\omega})}{e^{-j\frac{\omega}{2}} \left(e^{j\frac{\omega}{2}} - e^{-j\frac{\omega}{2}} \right)} \\ &= e^{-j\frac{3}{2}\omega} \frac{\sin(2\omega)}{\sin(\omega/2)} \end{aligned}$$

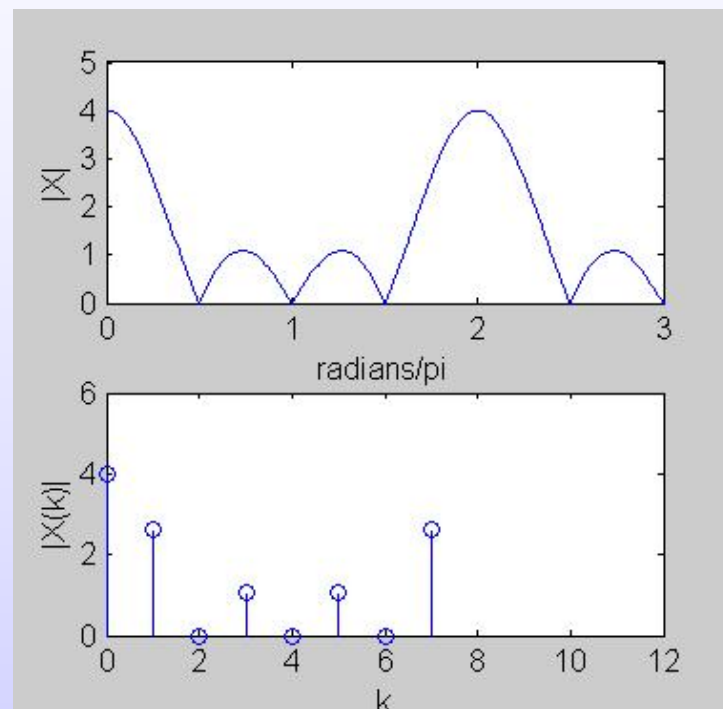


求 $x(n)$ 的8点DFT $N = 8$

$$X(k) = X(e^{j\omega}) \Big|_{\omega = \frac{2\pi}{8}k}$$

$$= e^{-j\frac{3}{2} \cdot \frac{\pi}{4}k} \frac{\sin\left(2 \cdot \frac{2\pi}{8}k\right)}{\sin\left(\frac{1}{2} \cdot \frac{2\pi}{8}k\right)}$$

$$= e^{-j\frac{3}{8}\pi k} \frac{\sin\left(\frac{\pi}{2}k\right)}{\sin\left(\frac{\pi}{8}k\right)}$$



机动



目录



上页



下页



返回



结束

五、快速傅立叶变换

尽管早就发现离散傅立叶变换有如此诱人的好处，但在一个相当长的时期中，人们还只基本上限于纸上谈兵。这是因为做一次变换需要进行 N^2 次复数乘法和 $N(N-1)$ 次复数加法，而实际使用中的 N 总是极为巨大的，相应的高昂代价令人望而却步。

20世纪60年代中期，Cooley和Tukey发现了计算离散傅立叶变换的高效（同时又特别适合于计算机硬件操作）的方法——快速傅立叶变换（简称FFT—Fast Fourier Transform）之后，它才真正获得了生命力。

直接计算DFT的特点及减少运算量的基本途径

长度为 N 的有限长序列 $x(n)$ 的DFT为

$$X(k) = \sum_{n=0}^{N-1} x(n)W_N^{kn}, k = 0, 1, \dots, N-1$$

考虑 $x(n)$ 为复数序列的一般情况，对某一个 k 值，直接按上式计算 $X(k)$ 值需要 N 次复数乘法、 $(N-1)$ 次复数加法。

如前所述， N 点DFT的复乘次数等于 N^2 。显然，把 N 点DFT分解为几个较短的DFT，可使乘法次数大大减少。另外，旋转因子 W_N^m 具有明显的周期性和对称性。其周期性表现为

$$W_N^{m+lN} = e^{-j\frac{2\pi}{N}(m+lN)} = e^{-j\frac{2\pi}{N}m} = W_N^m \quad (4.2.2)$$

其对称性表现为

$$W_N^{-m} = W_N^{N-m} \quad \text{或者} \quad [W_N^{N-m}]^* = W_N^m$$

$$W_N^{m+\frac{N}{2}} = -W_N^m$$

时域抽取法基2FFT基本原理

FFT算法基本上分为两大类：时域抽取法FFT(Decimation In Time FFT,简称DIT-FFT)和频域抽取法FFT(Decimation In Frequency FFT,简称DIF—FFT)。下面先介绍DIT—FFT算法。

设序列 $x(n)$ 的长度为 N ，且满足

$$N = 2^M, \quad M \text{ 为自然数}$$

按 n 的奇偶把 $x(n)$ 分解为两个 $N/2$ 点的子序列

$$x_1(r) = x(2r), \quad r = 0, 1, \dots, \frac{N}{2} - 1$$

$$x_2(r) = x(2r + 1), \quad r = 0, 1, \dots, \frac{N}{2} - 1$$

则 $x(n)$ 的DFT为

$$\begin{aligned} X(k) &= \sum_{n=0}^{N-1} x(n)W_N^{kn} + \sum_{n=N}^{2N-1} x(n)W_N^{kn} \\ &= \sum_{r=0}^{N/2-1} x(2r)W_N^{2kr} + \sum_{r=0}^{N/2-1} x(2r+1)W_N^{k(2r+1)} \\ &= \sum_{r=0}^{N/2-1} x_1(r)W_N^{2kr} + \sum_{r=0}^{N/2-1} x_2(r)W_N^{2kr} \end{aligned}$$

由于

$$W_N^{2kr} = e^{-j\frac{2\pi}{N}2kr} = e^{-j\frac{2\pi}{N}kr} = W_{N/2}^{kr}$$

所以

$$X(k) = \sum_{r=0}^{N/2-1} x_1(r)W_{N/2}^{kr} + W_N^k \sum_{r=0}^{N/2-1} x_2(r)W_{N/2}^{kr} = X_1(k) + W_N^k X_2(k)$$

其中 $X_1(k)$ 和 $X_2(k)$ 分别为 $x_1(r)$ 和 $x_2(r)$ 的 $N/2$ 点DFT, 即

$$X_1(k) = \sum_{r=0}^{N/2-1} x_1(r) W_{N/2}^{kr} = DFT[x_1(r)] \quad (4.2.5)$$

$$X_2(k) = \sum_{r=0}^{N/2-1} x_2(r) W_{N/2}^{kr} = DFT[x_2(r)] \quad (4.2.6)$$

由于 $X_1(k)$ 和 $X_2(k)$ 均以 $N/2$ 为周期, 且

$$W_N^{k+\frac{N}{2}} = -W_N^k, \text{ 所以 } X(k) \text{ 又可表示为}$$

$$X(k) = X_1(k) + W_N^k X_2(k) \quad k = 0, 1, \dots, \frac{N}{2} - 1 \quad (4.2.7)$$

$$X(k + \frac{N}{2}) = X_1(k) - W_N^k X_2(k) \quad k = 0, 1, \dots, \frac{N}{2} - 1 \quad (4.2.8)$$

与第一次分解相同，将 $x_1(r)$ 按奇偶分解成两个 $N/4$ 长的子序列 $x_3(l)$ 和 $x_4(l)$ ，即

$$\left. \begin{aligned} x_3(l) &= x_2(2l) \\ x_4(l) &= x_1(2l+1) \end{aligned} \right\}, l = 0, 1, \dots, \frac{N}{4} - 1$$

那么， $X_1(k)$ 又可表示为

$$\begin{aligned} X_1(k) &= \sum_{l=0}^{N/4-1} x_1(2l) W_{N/2}^{2kl} + \sum_{l=0}^{N/4-1} x_1(2l+1) W_{N/2}^{k(2l+1)} \\ &= \sum_{l=0}^{N/4-1} x_3(l) W_{N/4}^{kl} + W_{N/2}^k \sum_{l=0}^{N/4-1} x_4(l) W_{N/4}^{kl} \\ &= x_3(k) + W_{N/2}^k X_4(k), k = 0, 1, \dots, N/2 - 1 \end{aligned} \quad (4.2.9)$$

式中
$$x_3(k) = \sum_{l=0}^{N/4-1} x_3(l) W_{N/4}^{kl} = DFT[x_3(l)]$$

$$x_4(k) = \sum_{l=0}^{N/4-1} x_4(l) W_{N/4}^{kl} = DFT[x_4(l)]$$

同理，由 $X_3(k)$ 和 $X_4(k)$ 的周期性和 $W_{N/2}^m$ 的对称性 $W_{N/2}^{k+N/4} = -W_{N/2}^k$ 最后得到：

$$\left. \begin{aligned} X_1(k) &= X_3(k) + W_{N/2}^k X_4(k) \\ X_1(k + N/4) &= X_3(k) - W_{N/2}^k X_4(k) \end{aligned} \right\}, k = 0, 1, \dots, N/4 - 1 \quad (4.2.10)$$

用同样的方法可计算出

$$\left. \begin{aligned} X_2(k) &= X_5(k) + W_{N/2}^k X_6(k) \\ X_2(k + N/4) &= X_5(k) - W_{N/2}^k X_6(k) \end{aligned} \right\}, k = 0, 1, \dots, N/4 - 1 \quad (4.2.11)$$

其中

$$X_5(k) = \sum_{l=0}^{N/4-1} x_5(l) W_{N/4}^{kl} = DFT[x_5(l)]$$

$$X_6(k) = \sum_{l=0}^{N/4-1} x_6(l) W_{N/4}^{kl} = DFT[x_6(l)]$$

$$\left. \begin{aligned} x_5(l) &= x_2(2l) \\ x_6(l) &= x_2(2l+1) \end{aligned} \right\}, l = 0, 1, \dots, N/4 - 1$$

DIT—FFT算法与直接计算DFT运算量的比较

每一级运算都需要 $N/2$ 次复数乘和 N 次复数加)。所以， M 级运算总共需要的复数乘次数为

$$C_M(2) = \frac{N}{2} \cdot M = \frac{N}{2} \log_2 N$$

复数加次数为

$$C_A(2) = N \cdot M = N \log_2 N$$

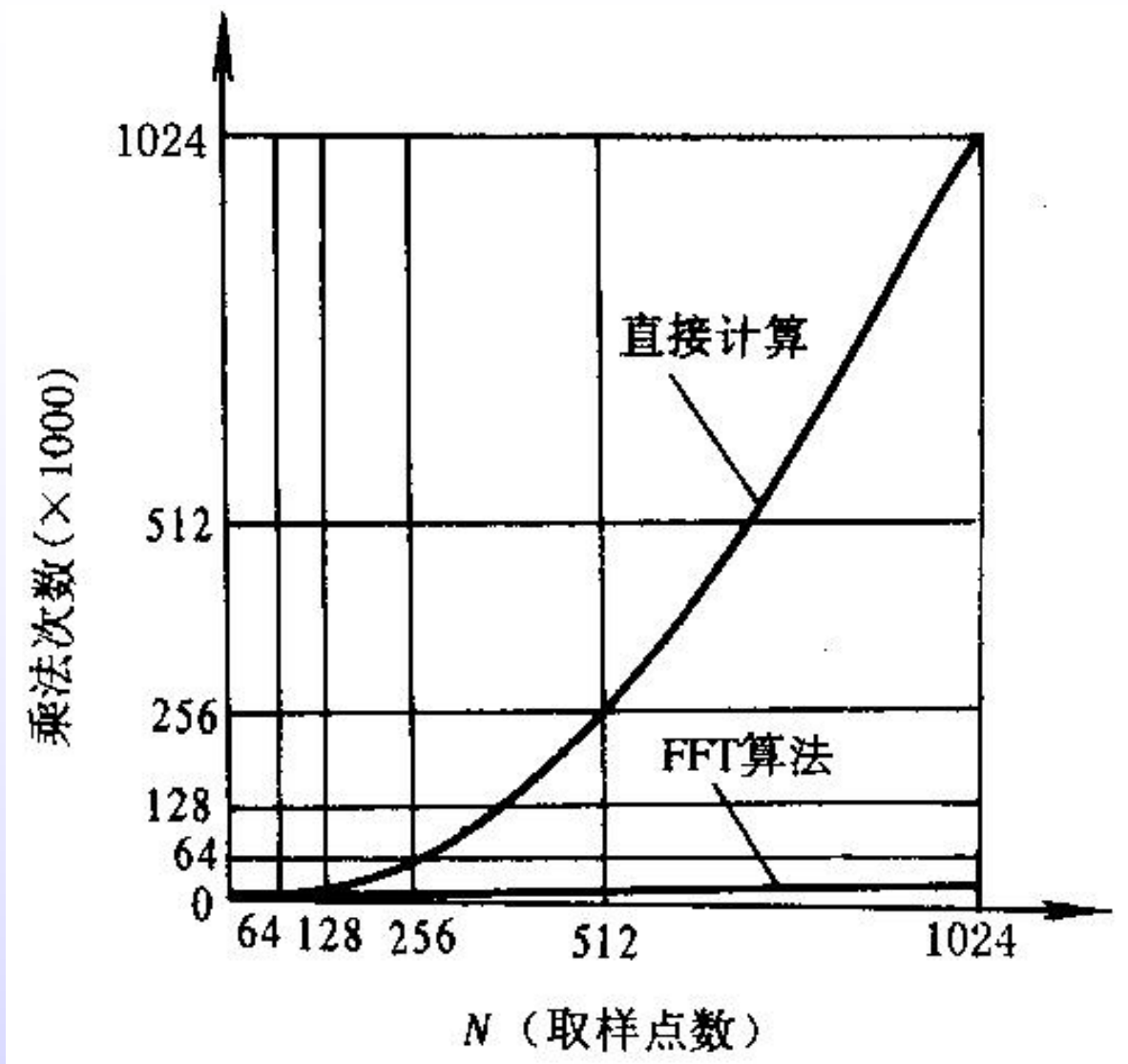


图4.2.5 FFT算法与直接计算DFT所需乘法次数的比较曲线

频域抽取法FFT(DIF—FFT)

在基2快速算法中，频域抽取法FFT也是一种常用的快速算法，简称DIF—FFT。

设序列 $x(n)$ 长度为 $N=2^M$ ，首先将 $x(n)$ 前后对半分开，得到两个子序列，其DFT可表示为如下形式：

$$\begin{aligned} X(k) &= DFT[x(n)] = \sum_{n=0}^{N-1} x(n)W_N^k \\ &= \sum_{n=0}^{N/2-1} x(n)W_N^{kn} + \sum_{n=N/2}^{N-1} x(n)W_N^{kn} \\ &= \sum_{n=0}^{N/2-1} x(n)W_N^{kn} + \sum_{n=0}^{N/2-1} x(n + \frac{N}{2})W_N^{k(n + N/2)} \\ &= \sum_{n=0}^{N/2-1} [x(n) + W_N^{kN/2}x(n + \frac{N}{2})]W_N^{kn} \end{aligned}$$



机动



目录



上页



下页



返回



结束

$$W_N^{kN/2} = (-1)^k = \begin{cases} 1, & k = \text{偶数} \\ -1 & k = \text{奇数} \end{cases}$$

将 $X(k)$ 分解成偶数组与奇数组，当 k 取偶数
($k=2r, r=0, 1, \dots, N/2-1$)时

$$\begin{aligned} X(2r) &= \sum_{n=0}^{N/2-1} [x(n) + x(n + \frac{N}{2})] W_N^{2rn} \\ &= \sum_{n=0}^{N/2-1} [x(n) + x(n + \frac{N}{2})] W_{N/2}^{2rn} \end{aligned} \quad (4.2.14)$$

当k取奇数($k=2r+1, r=0, 1, \dots, N/2-1$)时

$$\begin{aligned} X(2r+1) &= \sum_{n=0}^{N/2-1} [x(n) - x(n + \frac{N}{2})] W_N^{n(2r+1)} \\ &= \sum_{n=0}^{N/2-1} [x(n) - x(n + \frac{N}{2})] W_N^n \cdot W_{N/2}^{nr} \end{aligned} \quad (4.2.15)$$

将 $x_1(n)$ 和 $x_2(n)$ 分别代入(4.2.14)和(4.2.15)式, 可得

$$\begin{cases} X(2r) = \sum_{n=0}^{N/2-1} x_1(n) W_{N/2}^{rn} \\ X(2r+1) = \sum_{n=0}^{N/2-1} x_2(n) W_{N/2}^{rn} \end{cases} \quad (4.2.16)$$

基于FFT的离散傅立叶变换技术，是当今信息传输、频谱分析、图象处理、数据压缩等领域中最重要的数学工具之一。目前国际上任何一个综合数学软件中，必定含有FFT的计算程序。

设 $N = 2m$ ，将 j 和 n 分别写成

$$j = mj_1 + j_0, \begin{cases} j_0 = 0, 1, \dots, m-1, \\ j_1 = 0, 1 \end{cases}$$

和

$$n = 2n_1 + n_0, \begin{cases} n_0 = 0, 1 \\ n_1 = 0, 1, \dots, m-1, \end{cases}$$

记 $W_N = e^{-\frac{2\pi i}{N}}$, 则

$$W_N^2 = e^{-\frac{2\pi i}{m}} = W_m, W_N^m = e^{-\pi i} = -1, W_N^{2m} = W_N^N = 1.$$

而

$$\begin{aligned} e^{-2\pi i \frac{ni}{N}} &= (W_N)^{nj} = (W_N)^{(2n_1+n_0)(mj_1+j_0)} \\ &= (W_N)^{2mn_1j_1} (W_N)^{mn_0j_1} (W_N)^{2n_1j_0} (W_N)^{n_0j_0} \\ &= (-1)^{n_0j_1} \cdot (W_m)^{n_1j_0} \cdot (W_N)^{n_0j_0}. \end{aligned}$$

将上式代入离散傅立叶变换公式，并记 $X(j)$ 为 $X(j_1, j_0)$ 。

$$\begin{aligned} X(j) &= X(j_1, j_0) = \sum_{n=0}^{N-1} x(n) e^{-2\pi i \frac{ni}{N}} \\ &= \sum_{n_1=0}^{m-1} \sum_{n_0=0}^1 x(2n_1 + n_0) (-1)^{n_0 j_1} \cdot (W_m)^{n_1 j_0} \cdot (W_N)^{n_0 j_0} \\ &= \sum_{n_0=0}^1 (-1)^{n_0 j_1} [(W_N)^{n_0 j_0} \sum_{n_1=0}^{m-1} x(2n_1 + n_0) (W_m)^{n_1 j_0}] \end{aligned}$$

将方括号中的部分记为 $z(n_0, j_0)$ ，则计算 $X(j)$ 可分解为两个步骤进行：

$$\left\{ \begin{aligned} z(n_0, j_0) &= (W_N)^{n_0 j_0} \sum_{n_1=0}^{m-1} x(2n_1 + n_0) (W_m)^{n_1 j_0} \\ &\quad (n_0 = 0, 1, j_0 = 0, 1, \dots, m-1), \\ X(j_1, j_0) &= \sum_{n=0}^1 (-1)^{n_0 j_1} \cdot z(n_0, j_0) \\ &\quad (j_1 = 0, 1, j_0 = 0, 1, \dots, m-1). \end{aligned} \right.$$

实际处理数据时，因子 $(W_m)^{n_1 j_0}$ 和 $(W_N)^{n_0 j_0}$ 都是事先算好储存在计算机内的。因此，在第一式中，每一个 $z(n_0, j_0)$ 需要进行 m 次复数乘法和 $m-1$ 次复数加法，第二式中，每一个 $z(n_0, j_0)$ 只需要进行 $m-1$ 次复数加法，

所以总共需要做 mN 次复数乘法和 $2(m-1)N$ 次复数加法。

一式： m 次复数乘法和 $m-1$ 次复数加法，

二式： $m-1$ 次复数加法，

总计： mN 次复数乘法和 $2(m-1)N$ 次复数加法。

特殊情况：若 $N = 2^k$ ，则 $m = 2^{k-1}$ 仍是偶数，因此
可对第一式中的

$$\sum_{n_0=0}^{m-1} x(2n_1 + n_0)(W_m)^{n_1 j_0}$$

继续进行上述处理，以进一步减少计算量。只需进行

$\frac{kN}{2} = \frac{1}{2} N \log_2 N$ 次复数乘法和 $kN = N \log_2 N$ 次复数加法。